

Paul-Ehrlich-Straße
Gebäude 14
67663 Kaiserslautern

Telefon: +49 (0)631 205-3833
Telefax: +49 (0)631 205-3555

catherina.thiele@bauing.uni-kl.de
www.massivbau-kl.de

Project: 21046HK15511
Report on fire evaluation of post-installed rebar
connections with fischer injection system
FIS V Zero

Client: fischerwerke GmbH & Co. KG
Otto-Hahn-Straße 15
D – 79211 Denzlingen

Author: Heiner Kruse M.Sc.

Date: 12.05.2021
Valid until: 12.05.2026

C. thiele



apl. Prof. Dr.-Ing. Catherina Thiele

Heiner Kruse M.Sc.

This report consists of 47 pages.

Abridged or partial reproduction or copying of this report requires the permission of the Department of Solid Structures and Building Design at the TU Kaiserslautern.

Table of contents

1. General	3
2. The evaluated elements	3
3. Design method.....	3
4. Simulation input	5
5. Structural connections.....	7
6. Simulation results.....	9
6.1. Maximum applicable bond stress for slab-slab connections	9
6.2. Maximum applicable loads for beam-wall connections	11
6.2.1. Maximum applicable loads for a beam-wall connection with a concrete cover of 10mm	12
6.2.2. Maximum applicable loads for a beam-wall connection with a concrete cover of 20mm	14
6.2.3. Maximum applicable loads for a beam-wall connection with a concrete cover of 30mm	20
6.2.4. Maximum applicable loads for a beam-wall connection with a concrete cover of 40mm	29
6.2.5. Maximum applicable loads for a beam-wall connection with a concrete cover of 55mm	38
7. References	47

1. General

The Technical University of Kaiserslautern had been authorised by the company fischerwerke GmbH & Co. KG to generate a fire evaluation for post-installed rebars using the injection system FIS V Zero according to ETA-20/0574 [9].

2. The evaluated elements

Several bar diameters from Ø 8 to 25 mm with anchorage depths starting at 100 mm in C20/25 concrete are exposed to fire and evaluated. Considered are two structural systems: the slab-slab connection and the beam-wall connection.

The following is to be calculated:

- Maximal applicable bond stress to be used in case of the slab-slab connection,
- Maximal applicable load to be used in case of the beam-wall connection.

3. Design method

The design method consists of four steps (represented in figure 3-1). First, determining a reduction factor $K_N(\theta)$ [1], which describes the proportion between bond resistance and temperature, based on pullout tests at various temperatures. Secondly, a thermal simulation using the Finite Elements method is carried out to determine the temperature profile along the rebar at certain time T during a fire. Thirdly, the bond resistances in case of fire are estimated using the first two steps. A fourth step, in case of the beam-wall connection, is the calculation of the characteristic maximal load by integration of the bond resistance. Thermal simulations, geometrics considerations and safety coefficients are determined in accordance with Eurocode and standards [2] [3] [4].

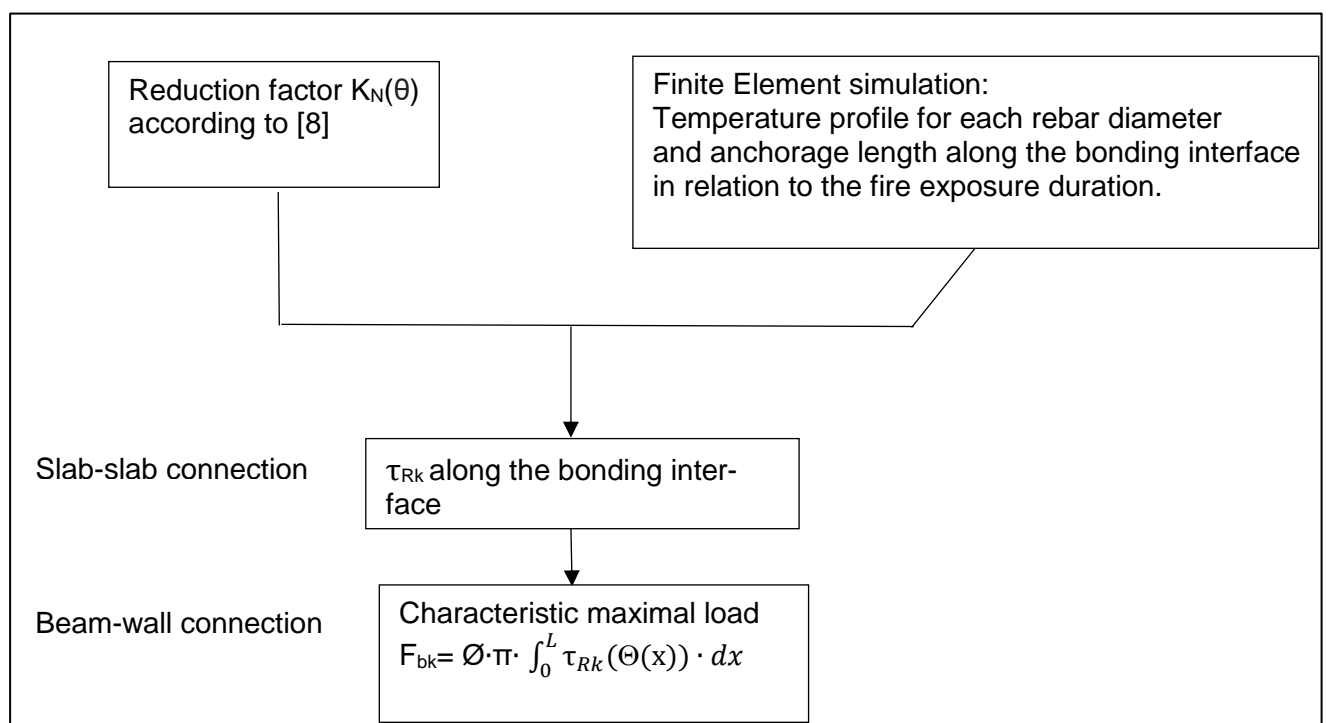


Figure 3-1: Method to determine the applicable loads in fire conditions

Where:

- τ_{RK} : the characteristic bonding resistance [N/mm^2].
- Θ : the temperature [$^\circ C$].
- F_{bk} : the characteristic maximum load applicable to the rebar at a given time [N].
- L: the embedment length [mm].
- \emptyset : the rebar diameter [mm].

In figure 3-2 the relationship between temperature and temperature reduction factor is described. [1], [7].

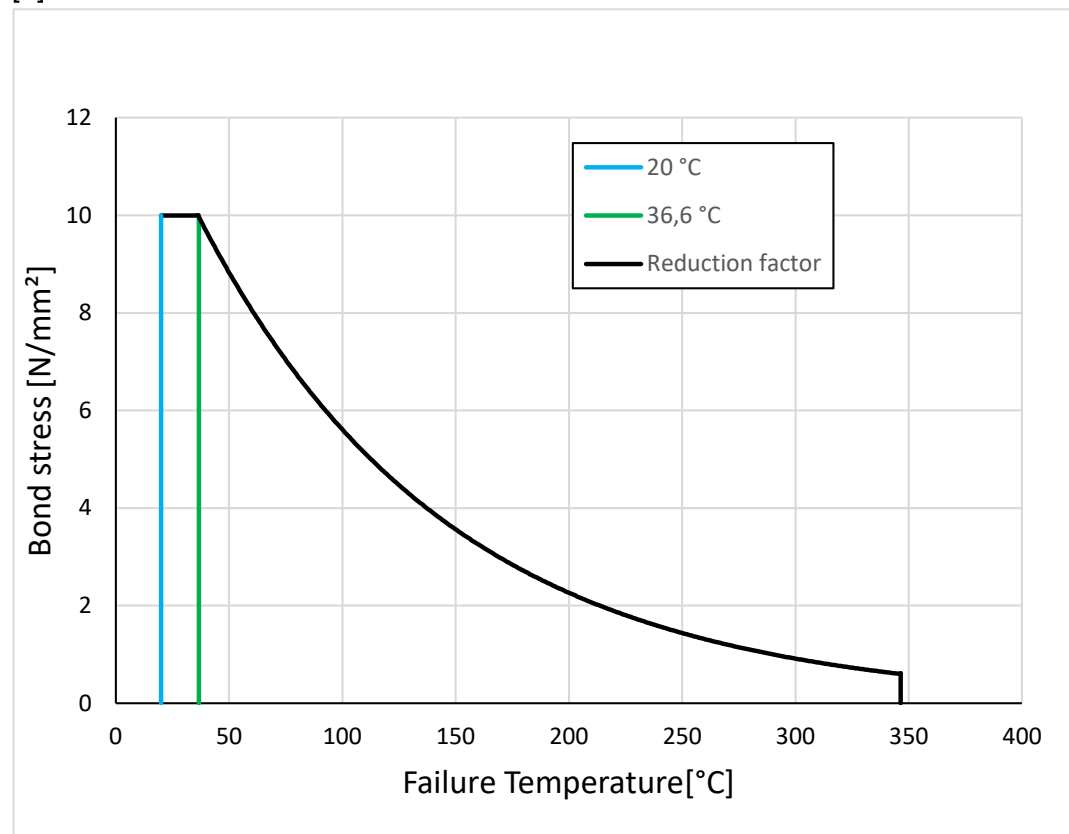


Figure 3-2: Relationship between temperature and the bond stress [7]

$$20^\circ C \leq \Theta \leq 36,6^\circ C: \quad k_{fi} = 1 [-]$$

$$> 36,6^\circ C \leq \Theta \leq 346,5^\circ C: \quad k_{fi} = \frac{13,898 * e^{-0,009 * \Theta}}{f_{bd, PIR} * 4,3} [-]$$

$$\Theta > 346,5^\circ C: \quad k_{fi} = 0 [-]$$

This report uses the characteristic values of bond strength. Accordingly, the values of bond resistance and load resistance in case of fire are given as characteristic values.

4. Simulation input

The simulations were performed with Ansys Workbench and the simulated model consists of two materials:

- Properties of concrete

Concrete: C20/25 with characteristic value of ultimate bond resistance

$$f_{bk} = f_{bd} \times \gamma_c = 2,3 \times 1,5 = 3,45 \text{ N/mm}^2$$

Where:

f_{bd} : the design value of the ultimate bond resistance for C20/25 according to [5]

γ_c : is the safety factor for concrete according to [5]

Thermal properties of concrete which are used in these simulations are provided are based on DIN EN 1992-1-2 (+NA) [2], where the thermal properties of steel are based on DIN EN 1993-1-2 (+NA) [3].

The characteristic courses of the thermal conductivity, mass density and the specific heat are represented below provided by DIN EN 1992-1-2 [2]. Steel bars with a yield strength $f_y = 500 \text{ N/mm}^2$ according to [5].

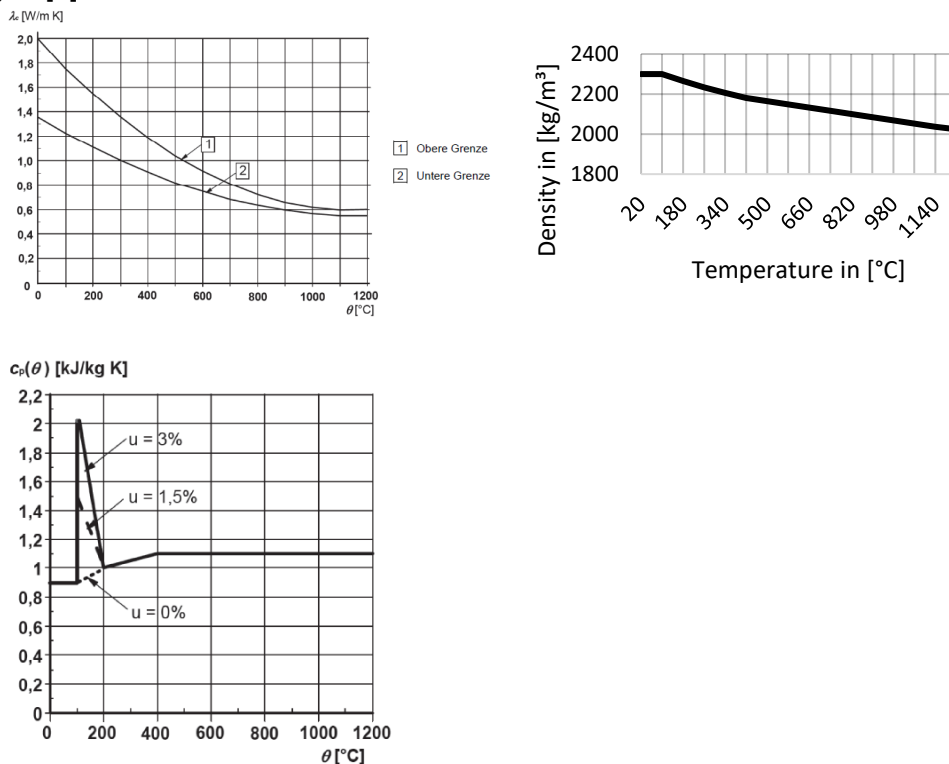


Figure 4-1: Variations of the thermal conductivity, density and specific heat of concrete

- Fire load

This model is exposed to a fire defined by the standard temperature curve as reference DIN ISO 834-1 [6].

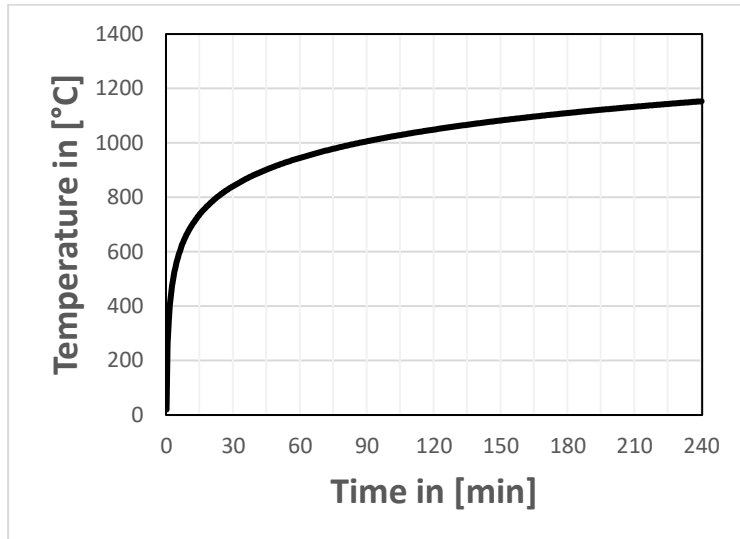


Figure 4-2: the standard temperature curve according to [6]

The standard temperature time curve is described by the following equation:

$$\theta_g = 20 + 345 \log_{10}(8t + 1)$$

θ_g the gas temperature

t the time in minutes

5. Structural connections

Slab-slab:

In the overlap joint application for a slab-slab configuration where the lower surface is exposed to fire, the temperature is uniform. The bond resistance is uniform along the bond and depends on the concrete cover and the duration of the fire.

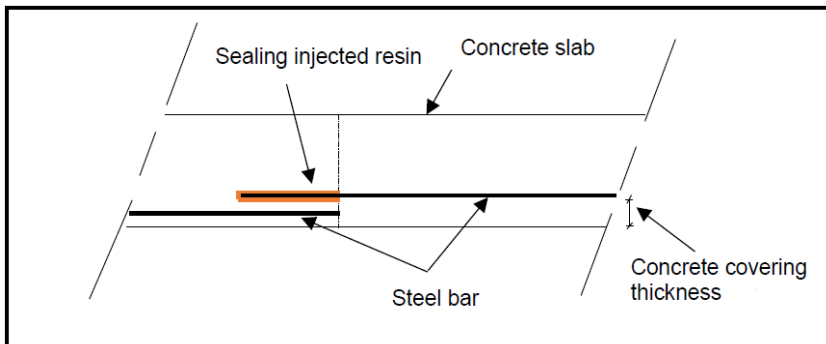


Figure 5-1: Overlap joint

Beam-wall:

In the anchor application for a beam-wall configuration where at least one side of the wall is exposed to fire, the temperature along the bond (inside the wall) is not uniform. This leads to different bond resistances and the load resistance is calculated by integration of the bond resistances along the lateral surface of the rebar.

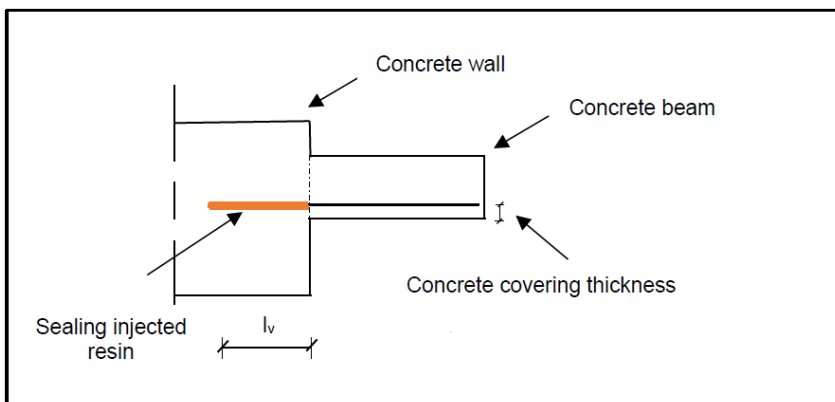


Figure 5-2: End anchorage

For the beam-wall connection, the temperature of the edge bar was used for the evaluation and therefore the results can also be applied to a slab-wall connection.

The figures present the temperature profiles of the Beam-wall connection at 30, 120 and 240 min. All temperature values are shown in [°C].

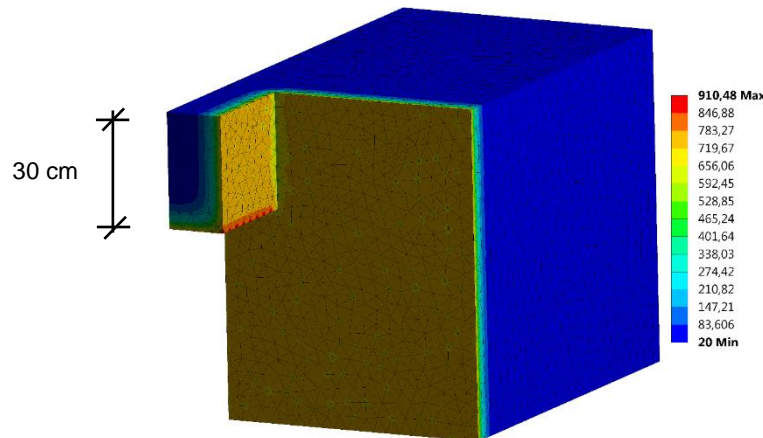


Figure 5-3: temperature profiles after 30 minutes fire duration

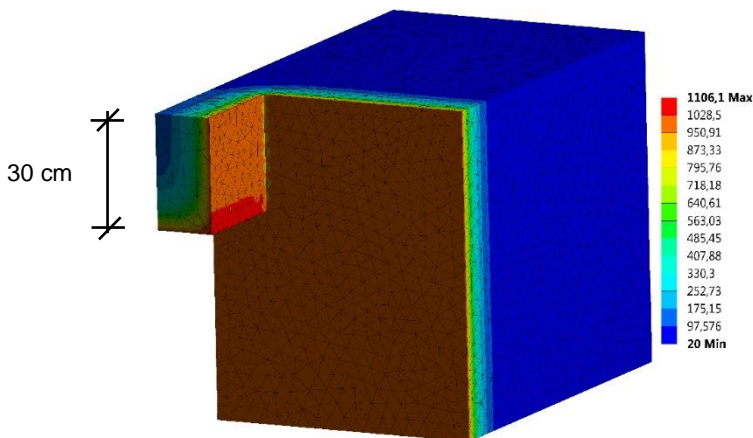


Figure 5-4: temperature profiles after 120 minutes fire duration

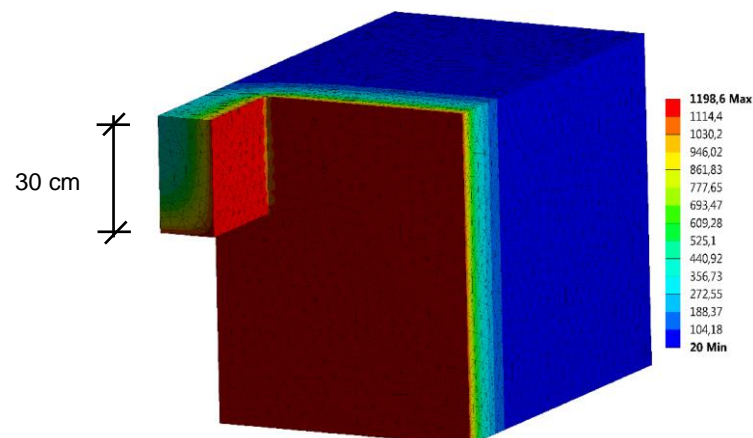


Figure 5-5: temperature profiles after 240 minutes fire duration

6. Simulation results

6.1. Maximum applicable bond stress for slab-slab connections

Table 6-1 presents characteristic bond stresses for slab-slab connections using C20/25 concrete with concrete covers between 50 and 200 mm and rebars with a yield strength $f_y = 500 \text{ N/mm}^2$ (see figure 5-2).

This model is exposed to a fire defined by the standard temperature curve as reference

DIN ISO 834-1 [6] (At 30, 60, 90, 120, 180, 240 min).

- The following table supplies data for the design of the injection anchoring system in case of fire.
- Post-installed rebars shall be designed in ambient temperature conditions before being designed in fire conditions.
- The mechanical design at ambient temperature has not been considered in this study. It shall be done additionally.
- The reduction of the steel load capacity due to elevated temperature in the steel was not taken into account in the tables. The steel load capacity is to be considered according to DIN EN 1992-1-2 [2].
- Intermediate values between those given in the following fire design tables may be interpolated.
- For higher concrete strength classes, the values of concrete strength class C20/25 may be used.

Table 6-1: Slab-slab connection

Concrete cover	Characteristic bond resistance in case of fire $f_{bk,fire}$ [N/mm²]					
c_{nom} [mm]	R30	R60	R90	R120	R180	R240
50	1,6	0,5	0,2	-		
60	2,1	0,8	0,4	0,2	-	
70	2,6	1,2	0,6	0,4		
80	3,0	1,6	0,9	0,5	0,2	
90	3,3	2,0	1,2	0,8	0,4	
100		2,3	1,6	1,0	0,5	0,3
110		2,7	1,9	1,3	0,7	0,4
120		2,9	2,2	1,6	0,9	0,5
130		3,2	2,4	1,9	1,1	0,7
140		3,4	2,7	2,1	1,4	0,9
150	3,5		2,9	2,4	1,6	1,1
160			3,1	2,6	1,8	1,3
170			3,3	2,8	2,0	1,5
180			3,4	3,0	2,2	1,7
190				3,1	2,4	1,9
200				3,3	2,6	2,0

6.2. Maximum applicable loads for beam-wall connections

Characteristic load resistances are calculated for beam-wall connections using C20/25 concrete and concrete cover equal or larger than 10 mm. The rebars used have a yield strength $f_y = 500 \text{ N/mm}^2$ and a characteristic maximum force of $N_{Rk} = A_s \times f_y$.

This model is exposed to a fire defined by the standard temperature curve as reference DIN ISO 834-1 [6]. (At 30, 60, 90, 120, 180, 240 min).

- The following table supplies data for the design of the injection anchoring system in case of fire.
- Post-installed rebars shall be designed in ambient temperature conditions before being de-signed in fire conditions.
- The mechanical design at ambient temperature has not been considered in this study. It shall be done additionally.
- The reduction of the steel load capacity due to elevated temperature in the steel was not taken into account in the tables. The steel load capacity is to be considered according to DIN EN 1992-1-2 [2].
- Intermediate values between those given in the following fire design tables may be interpolated.
- For higher concrete strength classes, the values of concrete strength class C20/25 may be used.

6.2.1. Maximum applicable loads for a beam-wall connection with a concrete cover of 10mm

Table 6-2: beam-wall connection for $c_{nom,min} = 10\text{mm}$ and $\varnothing 8\text{mm}$

Concrete cover = 10mm		Characteristic load resistance in case of fire $N_{Rk,fire}$ [kN]					
\varnothing [mm]	l_v [mm]	R30	R60	R90	R120	R180	R240
8	100	3,8	1,9	1,1	0,5	0,3	0,1
	130	6,2	3,4	2,0	1,1	0,7	0,3
	160	9,0	6,3	4,5	3,3	2,1	1,3
	190	11,6	8,9	6,9	5,3	3,5	2,4
	220	14,2	11,5	9,6	7,9	5,7	4,1
	250	16,8	14,1	12,2	10,5	7,9	6,0
	280	19,4	16,7	14,8	13,1	10,5	8,4
	310	22,0	19,3	17,4	15,7	13,1	10,8
	340	24,6	21,9	20,0	18,3	15,8	13,5
	350		22,8	20,8	19,2	16,6	14,3
	360		23,7	21,7	20,0	17,5	15,2
	370		24,5	22,6	20,9	18,4	16,1
	380			23,4	21,8	19,2	16,9
	390			24,3	22,6	20,1	17,8
	400				23,5	21,0	18,7
	410				24,4	21,8	19,5
	420					22,7	20,4
	430					23,6	21,3
	440					24,4	22,1
	450						23,0
	460						23,9
	470						24,7
	480						25,1

Table 6-3: beam-wall connection for $c_{nom,min} = 10\text{mm}$ and $\varnothing 10\text{mm}$

Concrete cover = 10mm		Characteristic load resistance in case of fire $N_{Rk,fire}$ [kN]					
\varnothing [mm]	l_v [mm]	R30	R60	R90	R120	R180	R240
10	100	4,6	2,2	1,2	0,6	0,3	0,1
	130	7,4	4,0	2,4	1,3	0,8	0,3
	160	11,0	7,6	5,4	3,9	2,4	1,5
	190	14,3	10,8	8,2	6,3	4,2	2,8
	220	17,5	14,1	11,6	9,5	6,8	4,9
	250	20,8	17,3	14,8	12,7	9,5	7,2
	280	24,0	20,6	18,1	16,0	12,8	10,1
	310	27,3	23,8	21,3	19,2	16,0	13,1
	340	30,5	27,1	24,6	22,5	19,3	16,4
	370	33,8	30,3	27,8	25,7	22,5	19,7
	400	37,0	33,6	31,1	29,0	25,8	22,9
	410	38,1	34,7	32,2	30,0	26,9	24,0
	420	39,2	35,7	33,2	31,1	28,0	25,1
	430	39,3	36,8	34,3	32,2	29,1	26,2
	440		37,9	35,4	33,3	30,1	27,3
	450		39,0	36,5	34,4	31,2	28,3
	460			37,6	35,5	32,3	29,4
	470			38,7	36,5	33,4	30,5
	480				37,6	34,5	31,6
	490				38,7	35,6	32,7
	500					36,6	33,8
	510					37,7	34,8
	520					38,8	35,9
	530						37,0
	540						38,1
	550						39,2
	560						39,3

6.2.2. Maximum applicable loads for a beam-wall connection with a concrete cover of 20mm

Table 6-4: beam-wall connection for $c_{nom,min} = 20\text{mm}$ and $\emptyset 8\text{mm}$

Concrete cover = 20mm		Characteristic load resistance in case of fire $N_{Rk,fire}$ [kN]					
\emptyset [mm]	l_v [mm]	R30	R60	R90	R120	R180	R240
8	100	4,6	2,2	1,3	0,6	0,3	0,1
	130	7,0	3,8	2,4	1,3	0,7	0,3
	160	9,7	6,8	4,9	3,5	2,2	1,4
	190	12,3	9,4	7,3	5,6	3,7	2,5
	220	14,9	12,0	10,0	8,2	5,9	4,3
	250	17,6	14,6	12,6	10,8	8,2	6,2
	280	20,2	17,2	15,2	13,4	10,8	8,5
	310	22,8	19,8	17,8	16,0	13,4	11,0
	320	23,6	20,6	18,7	16,8	14,3	11,9
	330	24,5	21,5	19,6	17,7	15,1	12,8
	340		22,4	20,4	18,6	16,0	13,7
	350		23,2	21,3	19,4	16,9	14,5
	360		24,1	22,2	20,3	17,7	15,4
	370		25,0	23,0	21,2	18,6	16,3
	380			23,9	22,0	19,5	17,1
	390			24,8	22,9	20,3	18,0
	400				23,8	21,2	18,9
	410				24,6	22,1	19,7
	420					22,9	20,6
	430					23,8	21,5
	440					24,7	22,3
	450						23,2
	460						24,1
	470						24,9
	480						25,1

Table 6-5: beam-wall connection for $c_{nom,min} = 20mm$ and $\emptyset 10mm$

Concrete cover = 20mm		Characteristic load resistance in case of fire $N_{Rk,fire}$ [kN]					
\emptyset [mm]	l_v [mm]	R30	R60	R90	R120	R180	R240
10	100	5,6	2,6	1,6	0,8	0,4	0,1
	130	8,6	4,5	2,9	1,5	0,9	0,3
	160	12,0	8,2	5,9	4,2	2,6	1,6
	190	15,3	11,4	8,8	6,7	4,4	3,0
	220	18,5	14,7	12,2	9,9	7,1	5,1
	250	21,8	17,9	15,4	13,1	9,9	7,4
	280	25,0	21,2	18,7	16,4	13,1	10,3
	310	28,3	24,4	22,0	19,6	16,4	13,4
	340	31,5	27,7	25,2	22,9	19,6	16,7
	370	34,8	30,9	28,5	26,1	22,9	19,9
	400	38,1	34,2	31,7	29,4	26,1	23,2
	410	39,1	35,3	32,8	30,5	27,2	24,3
	420	39,3	36,3	33,9	31,5	28,3	25,4
	430		37,4	35,0	32,6	29,4	26,5
	440		38,5	36,0	33,7	30,5	27,5
	450			37,1	34,8	31,6	28,6
	460			38,2	35,9	32,6	29,7
	470				37,0	33,7	30,8
	480				38,0	34,8	31,9
	490				39,1	35,9	33,0
	500					37,0	34,0
	510					38,1	35,1
	520					39,1	36,2
	530						37,3
	540						38,4
	550						39,3

Table 6-6: beam-wall connection for $c_{nom,min} = 20mm$ and $\varnothing 12mm$

Concrete cover = 20mm		Characteristic load resistance in case of fire $N_{Rk,fire}$ [kN]					
\varnothing [mm]	l_v [mm]	R30	R60	R90	R120	R180	R240
12	100	6,5	3,2	1,8	0,9	0,5	0,1
	130	10,0	5,4	3,3	1,8	1,0	0,4
	160	14,3	9,6	6,8	4,8	3,0	1,9
	190	18,2	13,5	10,2	7,6	5,1	3,4
	220	22,1	17,4	14,2	11,4	8,2	5,9
	250	26,0	21,3	18,1	15,3	11,4	8,6
	280	29,9	25,2	22,1	19,2	15,3	12,1
	310	33,8	29,1	26,0	23,1	19,2	15,6
	340	37,7	33,0	29,9	27,0	23,1	19,6
	370	41,6	36,9	33,8	30,9	27,0	23,5
	400	45,5	40,8	37,7	34,8	30,9	27,4
	430	49,4	44,7	41,6	38,7	34,8	31,3
	460	53,3	48,6	45,5	42,6	38,7	35,2
	470	54,6	49,9	46,8	43,9	40,0	36,5
	480	55,9	51,2	48,1	45,2	41,3	37,8
	490	56,5	52,5	49,4	46,5	42,6	39,1
	500		53,8	50,7	47,8	43,9	40,4
	510		55,1	52,0	49,1	45,2	41,7
	520		56,4	53,3	50,4	46,5	43,0
	530	56,5	54,6	51,7	47,8	44,3	
	540		55,9	53,0	49,1	45,6	
	550		56,5	54,3	50,4	46,9	
	560			55,6	51,7	48,2	
	570			56,5	53,0	49,5	
	580				54,3	50,8	
	590				55,6	52,1	
	600				56,5	53,4	
	610					54,7	
	620					56,0	
	630					56,5	

Table 6-7: beam-wall connection for $c_{nom,min} = 20\text{mm}$ and $\varnothing 14\text{mm}$

Concrete cover = 20mm		Characteristic load resistance in case of fire $N_{Rk,fire}$ [kN]					
\varnothing [mm]	l_v [mm]	R30	R60	R90	R120	R180	R240
14	140	13,5	8,1	5,4	3,5	2,1	1,2
	170	18,1	12,2	8,7	6,2	3,9	2,4
	200	22,6	16,9	13,2	10,1	6,9	4,8
	230	27,2	21,5	17,7	14,2	10,2	7,4
	260	31,7	26,0	22,3	18,9	14,4	11,0
	290	36,3	30,6	26,8	23,4	18,7	14,8
	320	40,8	35,2	31,4	28,0	23,3	19,3
	350	45,4	39,7	35,9	32,5	27,9	23,8
	380	49,9	44,3	40,5	37,1	32,4	28,3
	410	54,5	48,8	45,0	41,6	37,0	32,9
	440	59,0	53,4	49,6	46,2	41,5	37,4
	470	63,6	57,9	54,1	50,7	46,1	42,0
	500	68,1	62,5	58,7	55,3	50,7	46,5
	530	72,7	67,0	63,2	59,8	55,2	51,1
	540	74,2	68,5	64,7	61,4	56,7	52,6
	550	75,7	70,1	66,3	62,9	58,2	54,1
	560	77,0	71,6	67,8	64,4	59,8	55,7
	570		73,1	69,3	65,9	61,3	57,2
	580		74,6	70,8	67,4	62,8	58,7
	590		76,1	72,3	68,9	64,3	60,2
	600			73,8	70,5	65,8	61,7
	610			75,4	72,0	67,3	63,2
	620			76,9	73,5	68,9	64,8
	630				75,0	70,4	66,3
	640				76,5	71,9	67,8
	650					73,4	69,3
	660					74,9	70,8
	670					76,4	72,3
	680					77,0	73,9
	690						75,4
	700						76,9
	710						77,0

Table 6-8: beam-wall connection for $c_{nom,min} = 20mm$ and $\emptyset 16mm$

Concrete cover = 20mm		Characteristic load resistance in case of fire $N_{Rk,fire}$ [kN]					
\emptyset [mm]	l_v [mm]	R30	R60	R90	R120	R180	R240
16	160	18,8	12,1	8,4	5,9	3,6	2,2
	190	24,0	17,1	12,7	9,4	6,2	4,1
	220	29,2	22,4	17,9	14,2	10,0	7,2
	250	34,4	27,6	23,1	19,2	14,1	10,6
	280	39,6	32,8	28,3	24,5	19,1	15,0
	310	44,8	38,0	33,5	29,7	24,2	19,5
	340	50,0	43,2	38,7	34,9	29,5	24,7
	370	55,2	48,4	43,9	40,1	34,7	29,9
	400	60,4	53,6	49,1	45,3	39,9	35,2
	430	65,7	58,8	54,3	50,5	45,1	40,4
	460	70,9	64,0	59,5	55,7	50,3	45,6
	490	76,1	69,2	64,7	60,9	55,5	50,8
	520	81,3	74,4	69,9	66,1	60,7	56,0
	550	86,5	79,6	75,2	71,3	65,9	61,2
	580	91,7	84,9	80,4	76,5	71,1	66,4
	610	96,9	90,1	85,6	81,7	76,3	71,6
	620	98,6	91,8	87,3	83,5	78,0	73,3
	630	100,3	93,5	89,0	85,2	79,8	75,0
	640	100,5	95,3	90,8	86,9	81,5	76,8
	650		97,0	92,5	88,7	83,2	78,5
	660		98,7	94,2	90,4	85,0	80,2
	670		96,0	92,1	86,7	82,0	
	680		97,7	93,9	88,4	83,7	
	690		99,4	95,6	90,2	85,4	
	700		97,3	91,9	87,2		
	710		99,1	93,6	88,9		
	720			95,4	90,6		
	730			97,1	92,4		
	740			98,8	94,1		
	750	100,5			95,8		
	760				97,6		
	770				99,3		
	780				100,5		

Table 6-9: beam-wall connection for $c_{nom,min} = 20\text{mm}$ and $\varnothing 20\text{mm}$

Concrete cover = 20mm		Characteristic load resistance in case of fire $N_{Rk,fire}$ [kN]					
\varnothing [mm]	l_v [mm]	R30	R60	R90	R120	R180	R240
20	200	31,9	22,7	17,0	12,9	8,7	6,0
	230	38,4	29,2	23,2	18,3	12,9	9,3
	260	44,9	35,7	29,8	24,8	18,5	14,1
	290	51,4	42,3	36,3	31,3	24,3	19,1
	320	57,9	48,8	42,8	37,8	30,9	25,1
	350	64,4	55,3	49,3	44,3	37,4	31,4
	380	70,9	61,8	55,8	50,8	43,9	38,0
	410	77,4	68,3	62,3	57,3	50,4	44,5
	440	83,9	74,8	68,8	63,8	56,9	51,0
	470	90,4	81,3	75,4	70,4	63,4	57,5
	500	96,9	87,8	81,9	76,9	69,9	64,0
	530	103,4	94,3	88,4	83,4	76,4	70,5
	560	109,9	100,8	94,9	89,9	82,9	77,0
	590	116,4	107,3	101,4	96,4	89,4	83,5
	620	122,9	113,8	107,9	102,9	95,9	90,0
	650	129,4	120,3	114,4	109,4	102,5	96,5
	680	135,9	126,8	120,9	115,9	109,0	103,0
	710	142,5	133,3	127,4	122,4	115,5	109,5
	740	149,0	139,8	133,9	128,9	122,0	116,0
	770	155,5	146,3	140,4	135,4	128,5	122,5
	780		148,5	142,6	137,5	130,6	124,7
	790		150,6	144,7	139,7	132,8	126,8
	800		152,8	146,9	141,9	135,0	129,0
	810		155,0	149,1	144,1	137,1	131,2
	820			151,2	146,2	139,3	133,3
	830			153,4	148,4	141,5	135,5
	840			155,6	150,6	143,6	137,7
	850				152,7	145,8	139,8
	860				154,9	148,0	142,0
	870					150,1	144,2
	880					152,3	146,4
	890					154,5	148,5
	900					156,6	150,7
	910						152,9
	920						155,0
	930						157,1

6.2.3. Maximum applicable loads for a beam-wall connection with a concrete cover of 30mm

Table 6-10: beam-wall connection for $c_{nom,min} = 30\text{mm}$ and $\varnothing 8\text{mm}$

Concrete cover = 30mm		Characteristic load resistance in case of fire $N_{Rk,fire}$ [kN]					
\varnothing [mm]	l_v [mm]	R30	R60	R90	R120	R180	R240
8	100	5,3	2,7	1,6	0,7	0,4	0,2
	130	7,8	4,4	2,7	1,5	0,8	0,5
	160	10,5	7,4	5,3	3,8	2,4	1,6
	190	13,1	10,0	7,8	5,9	3,9	2,8
	220	15,7	12,6	10,5	8,5	6,1	4,6
	250	18,3	15,2	13,1	11,1	8,4	6,5
	280	20,9	17,8	15,7	13,7	11,1	8,9
	310	23,5	20,4	18,3	16,3	13,7	11,4
	320	24,4	21,3	19,1	17,2	14,5	12,3
	330		22,1	20,0	18,0	15,4	13,1
	340		23,0	20,9	18,9	16,3	14,0
	350		23,9	21,7	19,8	17,2	14,9
	360		24,7	22,6	20,6	18,0	15,7
	370			23,5	21,5	18,9	16,6
	380			24,3	22,4	19,8	17,5
	390				23,2	20,6	18,3
	400				24,1	21,5	19,2
	410				25,0	22,4	20,1
	420					23,2	20,9
	430					24,1	21,8
	440					25,0	22,7
	450						23,5
	460						24,4
	470						25,1

Table 6-11: beam-wall connection for $c_{nom,min} = 30\text{mm}$ and $\emptyset 10\text{mm}$

Concrete cover = 30mm		Characteristic load resistance in case of fire $N_{Rk,fire}$ [kN]					
\emptyset [mm]	l_v [mm]	R30	R60	R90	R120	R180	R240
10	100	6,7	3,3	1,9	0,9	0,5	0,3
	130	9,8	5,4	3,3	1,8	1,0	0,6
	160	13,2	9,1	6,4	4,5	2,8	1,9
	190	16,4	12,3	9,4	7,1	4,7	3,3
	220	19,7	15,6	12,8	10,3	7,4	5,5
	250	22,9	18,8	16,0	13,6	10,2	7,8
	280	26,2	22,1	19,3	16,8	13,5	10,8
	310	29,4	25,3	22,5	20,1	16,7	13,8
	340	32,7	28,6	25,8	23,3	20,0	17,1
	350	33,8	29,7	26,8	24,4	21,0	18,2
	360	34,8	30,7	27,9	25,5	22,1	19,3
	370	35,9	31,8	29,0	26,6	23,2	20,4
	380	37,0	32,9	30,1	27,7	24,3	21,5
	390	38,1	34,0	31,2	28,7	25,4	22,5
	400	39,2	35,1	32,3	29,8	26,5	23,6
	410	39,3	36,2	33,4	30,9	27,6	24,7
	420		37,2	34,4	32,0	28,6	25,8
	430		38,3	35,5	33,1	29,7	26,9
	440		36,6	34,2	30,8	28,0	
	450		37,7	35,2	31,9	29,0	
	460		38,8	36,3	33,0	30,1	
	470			37,4	34,1	31,2	
	480			38,5	35,1	32,3	
	490				36,2	33,4	
	500				37,3	34,5	
	510				38,4	35,6	
	520					36,6	
	530					37,7	
	540					38,8	
	550					39,3	

Table 6-12: beam-wall connection for $c_{nom,min} = 30\text{mm}$ and $\varnothing 12\text{mm}$

Concrete cover = 30mm		Characteristic load resistance in case of fire $N_{Rk,fire}$ [kN]					
\varnothing [mm]	l_v [mm]	R30	R60	R90	R120	R180	R240
12	100	7,9	3,9	2,2	1,0	0,5	0,3
	130	11,7	6,3	3,9	2,1	1,2	0,7
	160	15,7	10,6	7,5	5,2	3,3	2,2
	190	19,6	14,5	11,0	8,2	5,4	3,8
	220	23,5	18,4	15,0	12,0	8,5	6,3
	250	27,4	22,3	18,9	15,9	11,8	9,1
	280	31,3	26,2	22,8	19,8	15,7	12,5
	310	35,2	30,1	26,7	23,7	19,6	16,1
	340	39,1	34,0	30,6	27,6	23,5	20,1
	370	43,0	37,9	34,5	31,5	27,4	24,0
	400	46,9	41,8	38,4	35,4	31,3	27,9
	430	50,9	45,7	42,3	39,3	35,2	31,8
	460	54,8	49,6	46,2	43,2	39,1	35,7
	470	56,1	50,9	47,5	44,5	40,4	37,0
	480		52,2	48,8	45,8	41,7	38,3
	490		53,5	50,1	47,1	43,0	39,6
	500		54,8	51,4	48,4	44,3	40,9
	510		56,1	52,7	49,7	45,6	42,2
	520			54,0	51,0	46,9	43,5
	530			55,3	52,3	48,2	44,8
	540				53,6	49,6	46,1
	550				54,9	50,9	47,4
	560				56,2	52,2	48,7
	570					53,5	50,0
	580					54,8	51,3
	590					56,1	52,6
	600						53,9
	610						55,2
	620						56,5

Table 6-13: beam-wall connection for $c_{nom,min} = 30\text{mm}$ and $\emptyset 14\text{mm}$

Concrete cover = 30mm		Characteristic load resistance in case of fire $N_{Rk,fire}$ [kN]					
\emptyset [mm]	l_v [mm]	R30	R60	R90	R120	R180	R240
14	140	15,2	9,3	6,1	3,9	2,3	1,5
	170	19,8	13,5	9,6	6,8	4,2	2,9
	200	24,3	18,2	14,1	10,7	7,3	5,3
	230	28,9	22,7	18,6	14,9	10,7	8,0
	260	33,4	27,3	23,2	19,6	14,9	11,6
	290	38,0	31,8	27,7	24,1	19,3	15,4
	320	42,5	36,4	32,3	28,7	23,9	19,9
	350	47,1	40,9	36,8	33,2	28,5	24,5
	380	51,7	45,5	41,4	37,8	33,0	29,0
	410	56,2	50,0	45,9	42,3	37,6	33,6
	440	60,8	54,6	50,5	46,9	42,2	38,1
	470	65,3	59,2	55,0	51,5	46,7	42,7
	500	69,9	63,7	59,6	56,0	51,3	47,2
	530	74,4	68,3	64,1	60,6	55,8	51,8
	540	75,9	69,8	65,6	62,1	57,3	53,3
	550	77,0	71,3	67,2	63,6	58,8	54,8
	560		72,8	68,7	65,1	60,4	56,3
	570		74,3	70,2	66,6	61,9	57,8
	580		75,8	71,7	68,1	63,4	59,4
	590		73,2	69,7	64,9	60,9	
	600	77,0	74,8	71,2	66,4	62,4	
	610		76,3	72,7	67,9	63,9	
	620		74,2	69,5	65,4		
	630		75,7	71,0	66,9		
	640		72,5		68,5		
	650	77,0	74,0		70,0		
	660		75,5		71,5		
	670		77,0		73,0		
	680				74,5		
	690				76,1		
	700				77,0		

Table 6-14: beam-wall connection for $c_{nom,min} = 30\text{mm}$ and $\varnothing 16\text{mm}$

Concrete cover = 30mm		Characteristic load resistance in case of fire $N_{Rk,fire}$ [kN]					
\varnothing [mm]	l_v [mm]	R30	R60	R90	R120	R180	R240
16	160	20,8	13,7	9,3	6,7	4,0	2,7
	190	26,0	18,8	13,7	10,4	6,7	4,7
	220	31,2	24,0	19,0	15,2	10,6	7,8
	250	36,4	29,2	24,2	20,3	14,8	11,3
	280	41,6	34,4	29,4	25,6	19,8	15,7
	310	46,8	39,6	34,6	30,8	25,0	20,4
	340	52,0	44,8	39,8	36,0	30,2	25,6
	370	57,2	50,0	45,0	41,2	35,4	30,8
	400	62,4	55,2	50,2	46,4	40,6	36,0
	430	67,6	60,4	55,4	51,6	45,8	41,2
	460	72,8	65,6	60,6	56,8	51,0	46,4
	490	78,0	70,8	65,8	62,0	56,2	51,6
	520	83,2	76,0	71,0	67,2	61,4	56,8
	550	88,4	81,2	76,2	72,4	66,6	62,0
	580	93,6	86,4	81,4	77,6	71,8	67,2
	610	98,8	91,6	86,6	82,8	77,1	72,4
	620	100,5	93,4	88,4	84,5	78,8	74,2
	630		95,1	90,1	86,3	80,5	75,9
	640		96,8	91,8	88,0	82,3	77,6
	650		98,6	93,6	89,7	84,0	79,4
	660		100,3	95,3	91,5	85,7	81,1
	670		97,1	93,2	87,5	82,8	
	680		98,8	94,9	89,2	84,6	
	690			96,7	90,9	86,3	
	700			98,4	92,7	88,0	
	710			100,1	94,4	89,8	
	720	100,5			96,1	91,5	
	730				97,9	93,2	
	740				99,6	95,0	
	750				100,5	96,7	
	760					98,5	
	770					100,2	
	780					100,5	

Table 6-15: beam-wall connection for $c_{nom,min} = 30\text{mm}$ and $\varnothing 20\text{mm}$

Concrete cover = 30mm		Characteristic load resistance in case of fire $N_{Rk,fire}$ [kN]					
\varnothing [mm]	l_v [mm]	R30	R60	R90	R120	R180	R240
20	200	34,8	25,2	18,7	14,3	9,5	6,7
	230	41,3	31,7	25,0	19,9	13,9	10,2
	260	47,8	38,2	31,6	26,5	19,5	15,0
	290	54,3	44,7	38,1	33,0	25,4	20,2
	320	60,8	51,2	44,6	39,5	32,1	26,2
	350	67,3	57,8	51,1	46,0	38,6	32,5
	380	73,8	64,3	57,6	52,5	45,1	39,1
	410	80,3	70,8	64,1	59,0	51,6	45,6
	440	86,8	77,3	70,6	65,5	58,1	52,1
	470	93,3	83,8	77,1	72,0	64,6	58,6
	500	99,8	90,3	83,6	78,5	71,1	65,1
	530	106,3	96,8	90,1	85,0	77,6	71,6
	560	112,8	103,3	96,6	91,5	84,1	78,1
	590	119,3	109,8	103,1	98,0	90,6	84,7
	620	125,8	116,3	109,6	104,5	97,1	91,2
	650	132,3	122,8	116,1	111,0	103,6	97,7
	680	138,8	129,3	122,6	117,5	110,1	104,2
	710	145,3	135,8	129,2	124,0	116,6	110,7
	740	151,8	142,3	135,7	130,5	123,1	117,2
	750	154,0	144,5	137,8	132,7	125,3	119,3
	760	156,2	146,6	140,0	134,9	127,4	121,5
20	770	157,1	148,8	142,2	137,0	129,6	123,7
	780		151,0	144,3	139,2	131,8	125,8
	790		153,1	146,5	141,4	133,9	128,0
	800		155,3	148,7	143,5	136,1	130,2
	810			150,8	145,7	138,3	132,3
	820			153,0	147,9	140,4	134,5
	830			155,2	150,0	142,6	136,7
	840				152,2	144,8	138,8
	850				154,4	147,0	141,0
	860				156,5	149,1	143,2
	870					151,3	145,3
	880					153,5	147,5
	890					155,6	149,7
	900						151,8
	910						154,0
	920						156,2
	930						157,1

Table 6-16: beam-wall connection for $c_{nom,min} = 30\text{mm}$ and $\varnothing 22\text{mm}$

Concrete cover = 30mm		Characteristic load resistance in case of fire $N_{Rk,fire}$ [kN]					
\varnothing [mm]	l_v [mm]	R30	R60	R90	R120	R180	R240
22	200	34,8	25,2	18,7	14,3	9,5	6,7
	230	41,3	31,7	25,0	19,9	13,9	10,2
	260	47,8	38,2	31,6	26,5	19,5	15,0
	290	54,3	44,7	38,1	33,0	25,4	20,2
	320	60,8	51,2	44,6	39,5	32,1	26,2
	350	67,3	57,8	51,1	46,0	38,6	32,5
	380	73,8	64,3	57,6	52,5	45,1	39,1
	410	80,3	70,8	64,1	59,0	51,6	45,6
	440	86,8	77,3	70,6	65,5	58,1	52,1
	470	93,3	83,8	77,1	72,0	64,6	58,6
	500	99,8	90,3	83,6	78,5	71,1	65,1
	530	106,3	96,8	90,1	85,0	77,6	71,6
	560	112,8	103,3	96,6	91,5	84,1	78,1
	590	119,3	109,8	103,1	98,0	90,6	84,7
	620	125,8	116,3	109,6	104,5	97,1	91,2
	650	132,3	122,8	116,1	111,0	103,6	97,7
	680	138,8	129,3	122,6	117,5	110,1	104,2
	710	145,3	135,8	129,2	124,0	116,6	110,7
	740	151,8	142,3	135,7	130,5	123,1	117,2
	750	154,0	144,5	137,8	132,7	125,3	119,3
	760	156,2	146,6	140,0	134,9	127,4	121,5
	770	157,1	148,8	142,2	137,0	129,6	123,7
	780		151,0	144,3	139,2	131,8	125,8
	790		153,1	146,5	141,4	133,9	128,0
	800		155,3	148,7	143,5	136,1	130,2
	810		150,8	145,7	138,3	132,3	
	820		153,0	147,9	140,4	134,5	
	830		155,2	150,0	142,6	136,7	
	840			152,2	144,8	138,8	
	850			154,4	147,0	141,0	
	860			156,5	149,1	143,2	
	870				151,3	145,3	
	880				153,5	147,5	
	890				155,6	149,7	
	900					151,8	
	910					154,0	
	920					156,2	
	930					157,1	

Table 6-17: beam-wall connection for $c_{nom,min} = 30\text{mm}$ and $\varnothing 24\text{mm}$

Concrete cover = 30mm		Characteristic load resistance in case of fire $N_{Rk,fire}$ [kN]					
\varnothing [mm]	l_v [mm]	R30	R60	R90	R120	R180	R240
24	200	34,8	25,2	18,7	14,3	9,5	6,7
	230	41,3	31,7	25,0	19,9	13,9	10,2
	260	47,8	38,2	31,6	26,5	19,5	15,0
	290	54,3	44,7	38,1	33,0	25,4	20,2
	320	60,8	51,2	44,6	39,5	32,1	26,2
	350	67,3	57,8	51,1	46,0	38,6	32,5
	380	73,8	64,3	57,6	52,5	45,1	39,1
	410	80,3	70,8	64,1	59,0	51,6	45,6
	440	86,8	77,3	70,6	65,5	58,1	52,1
	470	93,3	83,8	77,1	72,0	64,6	58,6
	500	99,8	90,3	83,6	78,5	71,1	65,1
	530	106,3	96,8	90,1	85,0	77,6	71,6
	560	112,8	103,3	96,6	91,5	84,1	78,1
	590	119,3	109,8	103,1	98,0	90,6	84,7
	620	125,8	116,3	109,6	104,5	97,1	91,2
	650	132,3	122,8	116,1	111,0	103,6	97,7
	680	138,8	129,3	122,6	117,5	110,1	104,2
	710	145,3	135,8	129,2	124,0	116,6	110,7
	740	151,8	142,3	135,7	130,5	123,1	117,2
	750	154,0	144,5	137,8	132,7	125,3	119,3
	760	156,2	146,6	140,0	134,9	127,4	121,5
	770	157,1	148,8	142,2	137,0	129,6	123,7
	780		151,0	144,3	139,2	131,8	125,8
	790		153,1	146,5	141,4	133,9	128,0
	800		155,3	148,7	143,5	136,1	130,2
	810		150,8	145,7	138,3	132,3	
	820		153,0	147,9	140,4	134,5	
	830		155,2	150,0	142,6	136,7	
	840			152,2	144,8	138,8	
	850			154,4	147,0	141,0	
	860			156,5	149,1	143,2	
	870				151,3	145,3	
	880				153,5	147,5	
	890				155,6	149,7	
	900					151,8	
	910					154,0	
	920					156,2	
	930					157,1	

Table 6-18: beam-wall connection for $c_{nom,min} = 30\text{mm}$ and $\varnothing 25\text{mm}$

Concrete cover = 30mm		Characteristic load resistance in case of fire $N_{Rk,fire}$ [kN]					
\varnothing [mm]	l_v [mm]	R30	R60	R90	R120	R180	R240
25	250	57,2	44,3	35,5	28,5	20,2	14,9
	280	65,4	52,4	43,8	36,8	27,4	21,1
	310	73,5	60,5	51,9	44,9	34,9	27,7
	340	81,6	68,6	60,0	53,0	43,3	35,4
	370	89,7	76,8	68,1	61,1	51,4	43,3
	400	97,9	84,9	76,3	69,3	59,5	51,5
	430	106,0	93,0	84,4	77,4	67,6	59,7
	460	114,1	101,2	92,5	85,5	75,8	67,8
	490	122,3	109,3	100,7	93,7	83,9	75,9
	520	130,4	117,4	108,8	101,8	92,0	84,0
	550	138,5	125,5	116,9	109,9	100,2	92,2
	580	146,6	133,7	125,0	118,0	108,3	100,3
	610	154,8	141,8	133,2	126,2	116,4	108,4
	640	162,9	149,9	141,3	134,3	124,5	116,6
	670	171,0	158,1	149,4	142,4	132,7	124,7
	700	179,2	166,2	157,6	150,6	140,8	132,8
	730	187,3	174,3	165,7	158,7	148,9	141,0
	760	195,4	182,4	173,8	166,8	157,1	149,1
	790	203,5	190,6	181,9	175,0	165,2	157,2
	820	211,7	198,7	190,1	183,1	173,3	165,3
	850	219,8	206,8	198,2	191,2	181,4	173,5
	880	227,9	215,0	206,3	199,3	189,6	181,6
	910	236,1	223,1	214,5	207,5	197,7	189,7
	940	244,2	231,2	222,6	215,6	205,8	197,9
245,4	950		233,9	225,3	218,3	208,5	200,6
	960		236,6	228,0	221,0	211,3	203,3
	970		239,3	230,7	223,7	214,0	206,0
	990		244,8	236,1	229,1	219,4	211,4
	1010			241,6	234,6	224,8	216,8
	1050					235,6	227,7
	1070					241,1	233,1
	1090						238,5
	1110						243,9
	1230						245,4

6.2.4. Maximum applicable loads for a beam-wall connection with a concrete cover of 40mm

Table 6-19: beam-wall connection for $c_{nom,min} = 40\text{mm}$ and $\emptyset 8\text{mm}$

Concrete cover = 40mm		Characteristic load resistance in case of fire $N_{Rk,fire}$ [kN]					
\emptyset [mm]	l_v [mm]	R30	R60	R90	R120	R180	R240
8	100	6,2	3,3	2,0	1,0	0,6	0,3
	130	8,7	5,1	3,3	1,8	1,1	0,6
	160	11,4	8,1	5,9	4,2	2,7	1,7
	190	14,0	10,7	8,4	6,3	4,3	2,9
	220	16,6	13,3	11,0	9,0	6,5	4,8
	250	19,2	15,9	13,6	11,6	8,8	6,7
	280	21,8	18,5	16,3	14,2	11,5	9,1
	310	24,4	21,1	18,9	16,8	14,1	11,7
	320	25,1	22,0	19,7	17,6	15,0	12,6
	330		22,8	20,6	18,5	15,8	13,4
	340		23,7	21,5	19,4	16,7	14,3
	350		24,6	22,3	20,2	17,6	15,2
	360		23,2	21,1	18,4	16,0	
	370		24,1	22,0	19,3	16,9	
	380		24,9	22,8	20,2	17,8	
	390			23,7	21,0	18,6	
	400			24,6	21,9	19,5	
	410				22,8	20,4	
	420				23,6	21,2	
	430				24,5	22,1	
	440					23,0	
	450					23,8	
	460					24,7	
	470					25,1	

Table 6-20: beam-wall connection for $c_{nom,min} = 40\text{mm}$ and $\emptyset 10\text{mm}$

Concrete cover = 40mm		Characteristic load resistance in case of fire $N_{Rk,fire}$ [kN]					
\emptyset [mm]	l_v [mm]	R30	R60	R90	R120	R180	R240
10	100	7,7	4,1	2,4	1,2	0,7	0,3
	130	10,9	6,4	4,0	2,2	1,3	0,7
	160	14,2	10,0	7,2	5,1	3,2	2,1
	190	17,5	13,3	10,2	7,7	5,2	3,5
	220	20,7	16,5	13,6	11,0	7,9	5,8
	250	24,0	19,8	16,8	14,2	10,8	8,2
	280	27,2	23,0	20,1	17,5	14,1	11,1
	310	30,5	26,3	23,3	20,7	17,3	14,2
	340	33,7	29,5	26,6	24,0	20,6	17,5
	370	37,0	32,8	29,8	27,2	23,8	20,8
	380	38,1	33,9	30,9	28,3	24,9	21,8
	390	39,1	34,9	32,0	29,4	26,0	22,9
	400	39,3	36,0	33,1	30,5	27,1	24,0
	410		37,1	34,2	31,5	28,2	25,1
	420		38,2	35,3	32,6	29,2	26,2
	430			36,3	33,7	30,3	27,3
	440			37,4	34,8	31,4	28,4
	450			38,5	35,9	32,5	29,4
	460				37,0	33,6	30,5
	470				38,0	34,7	31,6
	480				39,1	35,7	32,7
	490					36,8	33,8
	500					37,9	34,9
	510					39,0	35,9
	520					39,3	37,0
	530						38,1
	540						39,2
	550						39,3

Table 6-21: beam-wall connection for $c_{nom,min} = 40\text{mm}$ and $\emptyset 12\text{mm}$

Concrete cover = 40mm		Characteristic load resistance in case of fire $N_{Rk,fire}$ [kN]					
\emptyset [mm]	l_v [mm]	R30	R60	R90	R120	R180	R240
12	100	9,3	4,9	2,9	1,5	0,8	0,4
	130	13,1	7,5	4,7	2,6	1,6	0,8
	160	17,1	11,9	8,5	5,9	3,8	2,4
	190	21,0	15,8	12,0	9,0	6,0	4,1
	220	24,9	19,7	16,1	12,8	9,2	6,7
	250	28,8	23,6	20,0	16,7	12,6	9,5
	280	32,7	27,5	23,9	20,7	16,5	13,0
	310	36,6	31,4	27,8	24,6	20,4	16,6
	340	40,5	35,3	31,7	28,5	24,3	20,6
	370	44,4	39,2	35,6	32,4	28,2	24,5
	400	48,3	43,1	39,5	36,3	32,1	28,4
	430	52,2	47,0	43,4	40,2	36,0	32,3
	460	56,1	50,9	47,3	44,1	39,9	36,2
	470	56,5	52,2	48,6	45,4	41,2	37,5
	480		53,5	49,9	46,7	42,5	38,8
	490		54,8	51,2	48,0	43,8	40,1
	500		56,1	52,5	49,3	45,1	41,4
	510		53,8	50,6	46,4	42,7	
	520		55,1	51,9	47,7	44,0	
	530		56,4	53,2	49,0	45,3	
	540			54,5	50,3	46,6	
	550			55,8	51,6	47,9	
	560				52,9	49,2	
	570				54,2	50,5	
	580				55,5	51,8	
	590					53,1	
	600					54,4	
	610					55,7	
	620					56,5	

Table 6-22: beam-wall connection for $c_{nom,min} = 40\text{mm}$ and $\emptyset 14\text{mm}$

Concrete cover = 40mm		Characteristic load resistance in case of fire $N_{Rk,fire}$ [kN]					
\emptyset [mm]	l_v [mm]	R30	R60	R90	R120	R180	R240
14	140	17,0	10,7	7,2	4,7	2,8	1,7
	170	21,5	15,1	10,8	7,7	4,9	3,1
	200	26,1	19,8	15,4	11,7	8,1	5,6
	230	30,6	24,3	19,9	16,0	11,5	8,4
	260	35,2	28,9	24,5	20,7	15,8	12,1
	290	39,7	33,4	29,0	25,2	20,2	16,0
	320	44,3	38,0	33,6	29,8	24,9	20,5
	350	48,8	42,5	38,1	34,3	29,4	25,1
	380	53,4	47,1	42,7	38,9	34,0	29,6
	410	57,9	51,6	47,2	43,4	38,5	34,2
	440	62,5	56,2	51,8	48,0	43,1	38,7
	470	67,0	60,7	56,3	52,5	47,6	43,3
	500	71,6	65,3	60,9	57,1	52,2	47,8
	530	76,1	69,8	65,4	61,7	56,7	52,4
	540		71,3	67,0	63,2	58,3	53,9
	550		72,9	68,5	64,7	59,8	55,4
	560		74,4	70,0	66,2	61,3	56,9
	570		75,9	71,5	67,7	62,8	58,4
	580			73,0	69,2	64,3	60,0
	590			74,5	70,8	65,8	61,5
	600			76,1	72,3	67,4	63,0
	610				73,8	68,9	64,5
	620				75,3	70,4	66,0
	630				76,8	71,9	67,6
	640					73,4	69,1
	650					74,9	70,6
	660					76,5	72,1
	670						73,6
	680						75,1
	690						76,7
	700						77,0

Table 6-23: beam-wall connection for $c_{nom,min} = 40\text{mm}$ and $\varnothing 16\text{mm}$

Concrete cover = 40mm		Characteristic load resistance in case of fire $N_{Rk,fire}$ [kN]					
\varnothing [mm]	l_v [mm]	R30	R60	R90	R120	R180	R240
16	160	22,9	15,4	10,8	7,5	4,7	3,0
	190	28,1	20,7	15,4	11,4	7,5	5,1
	220	33,3	25,8	20,8	16,3	11,6	8,3
	250	38,5	31,0	26,0	21,4	15,8	11,9
	280	43,7	36,3	31,2	26,7	20,9	16,4
	310	48,9	41,5	36,4	31,9	26,1	21,1
	340	54,1	46,7	41,6	37,1	31,4	26,4
	370	59,3	51,9	46,8	42,3	36,6	31,6
	400	64,5	57,1	52,0	47,5	41,8	36,8
	430	69,7	62,3	57,2	52,7	47,0	42,0
	460	74,9	67,5	62,4	57,9	52,2	47,2
	490	80,1	72,7	67,6	63,1	57,4	52,4
	520	85,3	77,9	72,8	68,3	62,6	57,6
	550	90,5	83,1	78,0	73,5	67,8	62,8
	580	95,7	88,3	83,2	78,7	73,0	68,0
	590	97,5	90,0	84,9	80,4	74,7	69,7
	600	99,2	91,7	86,6	82,2	76,4	71,5
	610		93,5	88,4	83,9	78,2	73,2
	620		95,2	90,1	85,6	79,9	74,9
	630		96,9	91,9	87,4	81,6	76,7
	640		98,7	93,6	89,1	83,4	78,4
	650		100,4	95,3	90,8	85,1	80,1
	660			97,1	92,6	86,8	81,9
	670			98,8	94,3	88,6	83,6
	680				96,0	90,3	85,3
	690				97,8	92,0	87,1
	700				99,5	93,8	88,8
	710					95,5	90,5
	720					97,2	92,3
	730					99,0	94,0
	740						95,7
	750						97,5
	760						99,2
	770						100,5

Table 6-24: beam-wall connection for $c_{nom,min} = 40\text{mm}$ and $\varnothing 20\text{mm}$

Concrete cover = 40mm		Characteristic load resistance in case of fire $N_{Rk,fire}$ [kN]					
\varnothing [mm]	l_v [mm]	R30	R60	R90	R120	R180	R240
20	200	37,5	27,7	20,9	15,7	10,6	7,4
	230	44,0	34,2	27,3	21,5	15,2	11,0
	260	50,5	40,7	33,9	28,1	21,0	15,9
	290	57,0	47,2	40,4	34,6	27,0	21,1
	320	63,5	53,7	46,9	41,1	33,6	27,3
	350	70,0	60,2	53,4	47,6	40,1	33,6
	380	76,5	66,7	59,9	54,1	46,6	40,2
	410	83,0	73,2	66,4	60,6	53,1	46,7
	440	89,5	79,7	72,9	67,1	59,6	53,2
	470	96,0	86,2	79,4	73,7	66,1	59,7
	500	102,5	92,7	85,9	80,2	72,6	66,2
	530	109,0	99,2	92,4	86,7	79,1	72,7
	560	115,5	105,7	98,9	93,2	85,6	79,2
	590	122,0	112,2	105,4	99,7	92,1	85,7
	620	128,5	118,8	111,9	106,2	98,7	92,2
	650	135,0	125,3	118,4	112,7	105,2	98,7
	680	141,5	131,8	124,9	119,2	111,7	105,2
	710	148,0	138,3	131,4	125,7	118,2	111,7
	740	154,5	144,8	137,9	132,2	124,7	118,2
	750	156,7	146,9	140,1	134,3	126,8	120,4
	760		149,1	142,3	136,5	129,0	122,6
	770		151,3	144,4	138,7	131,2	124,7
	780		153,4	146,6	140,9	133,3	126,9
	790		155,6	148,8	143,0	135,5	129,1
157,1	800			150,9	145,2	137,7	131,2
	810			153,1	147,4	139,8	133,4
	820			155,3	149,5	142,0	135,6
	830				151,7	144,2	137,7
	840				153,9	146,3	139,9
	850				156,0	148,5	142,1
	860					150,7	144,2
	870					152,8	146,4
	880					155,0	148,6
	890						150,7
	900						152,9
	910						155,1
	920						157,1

Table 6-25: beam-wall connection for $c_{nom,min} = 40\text{mm}$ and $\varnothing 22\text{mm}$

Concrete cover = 40mm		Characteristic load resistance in case of fire $N_{Rk,fire}$ [kN]					
\varnothing [mm]	l_v [mm]	R30	R60	R90	R120	R180	R240
22	200	37,5	27,7	20,9	15,7	10,6	7,4
	230	44,0	34,2	27,3	21,5	15,2	11,0
	260	50,5	40,7	33,9	28,1	21,0	15,9
	290	57,0	47,2	40,4	34,6	27,0	21,1
	320	63,5	53,7	46,9	41,1	33,6	27,3
	350	70,0	60,2	53,4	47,6	40,1	33,6
	380	76,5	66,7	59,9	54,1	46,6	40,2
	410	83,0	73,2	66,4	60,6	53,1	46,7
	440	89,5	79,7	72,9	67,1	59,6	53,2
	470	96,0	86,2	79,4	73,7	66,1	59,7
	500	102,5	92,7	85,9	80,2	72,6	66,2
	530	109,0	99,2	92,4	86,7	79,1	72,7
	560	115,5	105,7	98,9	93,2	85,6	79,2
	590	122,0	112,2	105,4	99,7	92,1	85,7
	620	128,5	118,8	111,9	106,2	98,7	92,2
	650	135,0	125,3	118,4	112,7	105,2	98,7
	680	141,5	131,8	124,9	119,2	111,7	105,2
	710	148,0	138,3	131,4	125,7	118,2	111,7
	740	154,5	144,8	137,9	132,2	124,7	118,2
	750	156,7	146,9	140,1	134,3	126,8	120,4
	760		149,1	142,3	136,5	129,0	122,6
	770		151,3	144,4	138,7	131,2	124,7
	780		153,4	146,6	140,9	133,3	126,9
	790		155,6	148,8	143,0	135,5	129,1
157,1	800			150,9	145,2	137,7	131,2
	810			153,1	147,4	139,8	133,4
	820			155,3	149,5	142,0	135,6
	830				151,7	144,2	137,7
	840				153,9	146,3	139,9
	850				156,0	148,5	142,1
	860					150,7	144,2
	870					152,8	146,4
	880					155,0	148,6
	890						150,7
	900						152,9
	910						155,1
	920						157,1

Table 6-26: beam-wall connection for $c_{nom,min} = 40\text{mm}$ and $\varnothing 24\text{mm}$

Concrete cover = 40mm		Characteristic load resistance in case of fire $N_{Rk,fire}$ [kN]					
\varnothing [mm]	l_v [mm]	R30	R60	R90	R120	R180	R240
24	200	37,5	27,7	20,9	15,7	10,6	7,4
	230	44,0	34,2	27,3	21,5	15,2	11,0
	260	50,5	40,7	33,9	28,1	21,0	15,9
	290	57,0	47,2	40,4	34,6	27,0	21,1
	320	63,5	53,7	46,9	41,1	33,6	27,3
	350	70,0	60,2	53,4	47,6	40,1	33,6
	380	76,5	66,7	59,9	54,1	46,6	40,2
	410	83,0	73,2	66,4	60,6	53,1	46,7
	440	89,5	79,7	72,9	67,1	59,6	53,2
	470	96,0	86,2	79,4	73,7	66,1	59,7
	500	102,5	92,7	85,9	80,2	72,6	66,2
	530	109,0	99,2	92,4	86,7	79,1	72,7
	560	115,5	105,7	98,9	93,2	85,6	79,2
	590	122,0	112,2	105,4	99,7	92,1	85,7
	620	128,5	118,8	111,9	106,2	98,7	92,2
	650	135,0	125,3	118,4	112,7	105,2	98,7
	680	141,5	131,8	124,9	119,2	111,7	105,2
	710	148,0	138,3	131,4	125,7	118,2	111,7
	740	154,5	144,8	137,9	132,2	124,7	118,2
	750	156,7	146,9	140,1	134,3	126,8	120,4
	760		149,1	142,3	136,5	129,0	122,6
	770		151,3	144,4	138,7	131,2	124,7
	780		153,4	146,6	140,9	133,3	126,9
	790		155,6	148,8	143,0	135,5	129,1
	800			150,9	145,2	137,7	131,2
	810			153,1	147,4	139,8	133,4
	820			155,3	149,5	142,0	135,6
	830				151,7	144,2	137,7
	840				153,9	146,3	139,9
	850				156,0	148,5	142,1
	860					150,7	144,2
	870					152,8	146,4
	880					155,0	148,6
	890						150,7
	900						152,9
	910						155,1
	920						157,1

Table 6-27: beam-wall connection for $c_{nom,min} = 40\text{mm}$ and $\varnothing 25\text{mm}$

Concrete cover = 40mm		Characteristic load resistance in case of fire $N_{Rk,fire}$ [kN]					
\varnothing [mm]	l_v [mm]	R30	R60	R90	R120	R180	R240
25	250	60,8	47,8	38,8	31,1	22,2	16,3
	280	68,9	56,0	46,9	39,5	29,5	22,7
	310	77,0	64,1	55,0	47,6	37,2	29,4
	340	85,1	72,2	63,2	55,7	45,4	37,2
	370	93,3	80,4	71,3	63,8	53,6	45,2
	400	101,4	88,5	79,4	72,0	61,7	53,4
	430	109,5	96,6	87,6	80,1	69,8	61,5
	460	117,7	104,7	95,7	88,2	77,9	69,7
	490	125,8	112,9	103,8	96,4	86,1	77,8
	520	133,9	121,0	111,9	104,5	94,2	85,9
	550	142,0	129,1	120,1	112,6	102,3	94,1
	580	150,2	137,3	128,2	120,8	110,5	102,2
	610	158,3	145,4	136,3	128,9	118,6	110,3
	640	166,4	153,5	144,5	137,0	126,7	118,4
	670	174,6	161,6	152,6	145,1	134,8	126,6
	700	182,7	169,8	160,7	153,3	143,0	134,7
	730	190,8	177,9	168,8	161,4	151,1	142,8
	760	198,9	186,0	177,0	169,5	159,2	151,0
	790	207,1	194,2	185,1	177,7	167,4	159,1
	820	215,2	202,3	193,2	185,8	175,5	167,2
	850	223,3	210,4	201,4	193,9	183,6	175,3
	880	231,5	218,5	209,5	202,0	191,7	183,5
	910	239,6	226,7	217,6	210,2	199,9	191,6
	920	242,3	229,4	220,3	212,9	202,6	194,3
	930	245,0	232,1	223,0	215,6	205,3	197,0
	940	245,4	234,8	225,7	218,3	208,0	199,7
	950		237,5	228,5	221,0	210,7	202,4
	960		240,2	231,2	223,7	213,4	205,2
	980		245,4	236,6	229,1	218,8	210,6
	1000			242,0	234,6	224,3	216,0
	1020			245,4	240,0	229,7	221,4
	1040				235,1	226,8	
	1060				240,5	232,2	
	1080				245,4	237,7	
	1100					243,1	
	1120					245,4	

6.2.5. Maximum applicable loads for a beam-wall connection with a concrete cover of 55mm

Table 6-28: beam-wall connection for $c_{nom,min} = 55\text{mm}$ and $\emptyset 8\text{mm}$

Concrete cover = 55mm		Characteristic load resistance in case of fire $N_{Rk,fire}$ [kN]					
\emptyset [mm]	l_v [mm]	R30	R60	R90	R120	R180	R240
8	100	6,4	3,6	2,2	1,1	0,6	0,3
	130	9,0	5,6	3,6	2,0	1,2	0,6
	160	11,6	8,6	6,3	4,5	2,9	1,9
	190	14,2	11,2	8,9	6,7	4,6	3,2
	220	16,8	13,8	11,5	9,4	6,9	5,0
	250	19,4	16,4	14,1	12,0	9,3	7,1
	280	22,0	19,0	16,7	14,6	11,9	9,5
	310	24,6	21,6	19,3	17,2	14,5	12,0
	320	25,1	22,4	20,2	18,1	15,4	12,9
	330		23,3	21,0	18,9	16,3	13,8
	340		24,2	21,9	19,8	17,1	14,7
	350		25,0	22,8	20,7	18,0	15,5
	360		23,7	21,6	18,9	16,4	
	370		24,5	22,4	19,7	17,3	
	380		25,1	23,3	20,6	18,1	
	390			24,2	21,5	19,0	
	400			25,0	22,3	19,9	
	410			25,1	23,2	20,8	
	420				24,1	21,6	
	430				24,9	22,5	
	440				25,1	23,4	
	450					24,2	
	460					25,1	

Table 6-29: beam-wall connection for $c_{nom,min} = 55\text{mm}$ and $\emptyset 10\text{mm}$

Concrete cover = 55mm		Characteristic load resistance in case of fire $N_{Rk,fire}$ [kN]					
\emptyset [mm]	l_v [mm]	R30	R60	R90	R120	R180	R240
10	100	8,1	4,6	2,7	1,4	0,8	0,4
	130	11,4	7,1	4,5	2,6	1,5	0,8
	160	14,6	10,7	7,9	5,6	3,6	2,3
	190	17,9	14,0	11,1	8,4	5,7	3,9
	220	21,1	17,2	14,4	11,7	8,5	6,2
	250	24,4	20,5	17,6	14,9	11,4	8,7
	280	27,7	23,8	20,9	18,2	14,8	11,7
	310	30,9	27,0	24,1	21,4	18,0	14,8
	340	34,2	30,3	27,4	24,7	21,3	18,1
	370	37,4	33,5	30,6	27,9	24,5	21,4
	380	38,5	34,6	31,7	29,0	25,6	22,5
	390		35,7	32,8	30,1	26,7	23,6
	400		36,8	33,9	31,2	27,8	24,6
	410		37,8	34,9	32,3	28,9	25,7
	420		38,9	36,0	33,4	30,0	26,8
	430			37,1	34,4	31,0	27,9
	440			38,2	35,5	32,1	29,0
	450				36,6	33,2	30,1
	460				37,7	34,3	31,2
	470				38,8	35,4	32,2
	480					36,5	33,3
	490					37,6	34,4
	500					38,6	35,5
	510						36,6
	520						37,7
	530						38,7
	540						39,3

Table 6-30: beam-wall connection for $c_{nom,min} = 55\text{mm}$ and $\varnothing 12\text{mm}$

Concrete cover = 55mm		Characteristic load resistance in case of fire $N_{Rk,fire}$ [kN]					
\varnothing [mm]	l_v [mm]	R30	R60	R90	R120	R180	R240
12	100	9,9	5,5	3,3	1,7	1,0	0,4
	130	13,8	8,5	5,5	3,1	1,8	1,0
	160	17,7	12,9	9,4	6,7	4,3	2,7
	190	21,6	16,8	13,2	10,0	6,7	4,6
	220	25,5	20,7	17,2	13,9	10,1	7,3
	250	29,4	24,6	21,1	17,8	13,6	10,2
	280	33,3	28,5	25,0	21,7	17,5	13,8
	310	37,2	32,5	28,9	25,6	21,4	17,6
	340	41,1	36,4	32,8	29,5	25,3	21,5
	370	45,0	40,3	36,7	33,4	29,2	25,4
	400	48,9	44,2	40,6	37,4	33,1	29,3
	430	52,8	48,1	44,5	41,3	37,0	33,2
	440	54,1	49,4	45,8	42,6	38,3	34,5
	450	55,4	50,7	47,1	43,9	39,6	35,8
	460		52,0	48,4	45,2	40,9	37,1
	470		53,3	49,7	46,5	42,2	38,4
	480		54,6	51,0	47,8	43,5	39,7
	490		55,9	52,3	49,1	44,8	41,0
	500			53,6	50,4	46,1	42,3
	510			54,9	51,7	47,4	43,6
	520			56,2	53,0	48,7	44,9
	530				54,3	50,0	46,2
	540				55,6	51,3	47,5
	550					52,7	48,8
	560					54,0	50,1
	570					55,3	51,4
	580						52,7
	590						54,0
	600						55,3
	610						56,5

Table 6-31: beam-wall connection for $c_{nom,min} = 55\text{mm}$ and $\emptyset 14\text{mm}$

Concrete cover = 55mm		Characteristic load resistance in case of fire $N_{Rk,fire}$ [kN]					
\emptyset [mm]	l_v [mm]	R30	R60	R90	R120	R180	R240
14	140	17,7	12,1	8,3	5,5	3,3	2,0
	170	22,3	16,7	12,3	8,8	5,7	3,6
	200	26,8	21,2	17,0	13,1	9,1	6,4
	230	31,4	25,8	21,6	17,6	12,7	9,4
	260	35,9	30,3	26,1	22,2	17,2	13,2
	290	40,5	34,9	30,7	26,7	21,7	17,3
	320	45,0	39,4	35,2	31,3	26,3	21,8
	350	49,6	44,0	39,8	35,8	30,8	26,4
	380	54,1	48,5	44,3	40,4	35,4	30,9
	410	58,7	53,1	48,9	44,9	39,9	35,5
	440	63,2	57,6	53,4	49,5	44,5	40,1
	470	67,8	62,2	58,0	54,0	49,0	44,6
	500	72,3	66,7	62,5	58,6	53,6	49,2
	530	76,9	71,3	67,1	63,1	58,2	53,7
	540		72,8	68,6	64,7	59,7	55,2
	550		74,3	70,1	66,2	61,2	56,7
	560		75,8	71,6	67,7	62,7	58,3
	570			73,1	69,2	64,2	59,8
	580			74,7	70,7	65,7	61,3
	590			76,2	72,2	67,3	62,8
	600				73,8	68,8	64,3
	610				75,3	70,3	65,8
	620				76,8	71,8	67,4
	630					73,3	68,9
	640					74,8	70,4
	650					76,4	71,9
	660						73,4
	670						74,9
	680						76,5
	690						77,0

Table 6-32: beam-wall connection for $c_{nom,min} = 55\text{mm}$ and $\varnothing 16\text{mm}$

Concrete cover = 55mm		Characteristic load resistance in case of fire $N_{Rk,fire}$ [kN]					
\varnothing [mm]	l_v [mm]	R30	R60	R90	R120	R180	R240
16	160	23,9	17,4	12,5	8,8	5,6	3,5
	190	29,1	22,6	17,5	13,0	8,8	5,9
	220	34,3	27,8	22,8	18,3	13,1	9,5
	250	39,5	33,0	28,0	23,5	17,6	13,3
	280	44,7	38,2	33,2	28,7	22,9	18,0
	310	49,9	43,4	38,4	33,9	28,1	22,9
	340	55,1	48,6	43,6	39,1	33,3	28,1
	370	60,3	53,8	48,8	44,3	38,5	33,3
	400	65,5	59,0	54,0	49,5	43,7	38,5
	430	70,7	64,2	59,2	54,7	48,9	43,7
	460	75,9	69,4	64,4	59,9	54,1	49,0
	490	81,1	74,6	69,6	65,1	59,3	54,2
	520	86,3	79,8	74,8	70,3	64,5	59,4
	550	91,5	85,0	80,0	75,5	69,7	64,6
	580	96,7	90,2	85,2	80,7	74,9	69,8
	590	98,4	92,0	87,0	82,4	76,6	71,5
	600	100,2	93,7	88,7	84,2	78,4	73,2
	610		95,4	90,5	85,9	80,1	75,0
	620		97,2	92,2	87,6	81,8	76,7
	630		98,9	93,9	89,4	83,6	78,4
	640			95,7	91,1	85,3	80,2
	650			97,4	92,8	87,1	81,9
	660			99,1	94,6	88,8	83,6
	670				96,3	90,5	85,4
	680				98,0	92,3	87,1
	690				99,8	94,0	88,8
	700					95,7	90,6
	710					97,5	92,3
	720					99,2	94,0
	730						95,8
	740						97,5
	750						99,2
	760						100,5

Table 6-33: beam-wall connection for $c_{nom,min} = 55\text{mm}$ and $\varnothing 20\text{mm}$

Concrete cover = 55mm		Characteristic load resistance in case of fire $N_{Rk,fire}$ [kN]					
\varnothing [mm]	l_v [mm]	R30	R60	R90	R120	R180	R240
20	200	38,9	30,6	24,0	18,2	12,4	8,6
	230	45,4	37,1	30,5	24,4	17,4	12,7
	260	51,9	43,6	37,0	31,0	23,5	17,9
	290	58,4	50,1	43,5	37,6	29,8	23,4
	320	64,9	56,6	50,0	44,1	36,5	29,8
	350	71,4	63,1	56,5	50,6	43,0	36,3
	380	77,9	69,6	63,0	57,1	49,5	42,8
	410	84,4	76,1	69,5	63,6	56,0	49,3
	440	90,9	82,6	76,0	70,1	62,5	55,8
	470	97,4	89,1	82,5	76,6	69,0	62,3
	500	103,9	95,6	89,0	83,1	75,5	68,8
	530	110,4	102,1	95,5	89,6	82,0	75,3
	560	116,9	108,6	102,0	96,1	88,5	81,8
	590	123,4	115,1	108,5	102,6	95,0	88,3
	620	129,9	121,6	115,0	109,1	101,5	94,8
	650	136,5	128,1	121,5	115,6	108,0	101,3
	680	143,0	134,6	128,1	122,1	114,5	107,8
	710	149,5	141,1	134,6	128,6	121,0	114,3
	740	156,0	147,6	141,1	135,1	127,5	120,8
20	750	157,1	149,8	143,2	137,3	129,7	123,0
	760		152,0	145,4	139,4	131,8	125,1
	770		154,1	147,6	141,6	134,0	127,3
	780		156,3	149,7	143,8	136,2	129,5
	790			151,9	145,9	138,3	131,7
	800			154,1	148,1	140,5	133,8
	810			156,2	150,3	142,7	136,0
	820				152,4	144,8	138,2
	830				154,6	147,0	140,3
	840				156,8	149,2	142,5
	850					151,3	144,7
	860					153,5	146,8
	870					155,7	149,0
	880						151,2
	890						153,3
	900						155,5
	910						157,1

Table 6-34: beam-wall connection for $c_{nom,min} = 55\text{mm}$ and $\varnothing 22\text{mm}$

Concrete cover = 55mm		Characteristic load resistance in case of fire $N_{Rk,fire}$ [kN]					
\varnothing [mm]	l_v [mm]	R30	R60	R90	R120	R180	R240
22	200	38,9	30,6	24,0	18,2	12,4	8,6
	230	45,4	37,1	30,5	24,4	17,4	12,7
	260	51,9	43,6	37,0	31,0	23,5	17,9
	290	58,4	50,1	43,5	37,6	29,8	23,4
	320	64,9	56,6	50,0	44,1	36,5	29,8
	350	71,4	63,1	56,5	50,6	43,0	36,3
	380	77,9	69,6	63,0	57,1	49,5	42,8
	410	84,4	76,1	69,5	63,6	56,0	49,3
	440	90,9	82,6	76,0	70,1	62,5	55,8
	470	97,4	89,1	82,5	76,6	69,0	62,3
	500	103,9	95,6	89,0	83,1	75,5	68,8
	530	110,4	102,1	95,5	89,6	82,0	75,3
	560	116,9	108,6	102,0	96,1	88,5	81,8
	590	123,4	115,1	108,5	102,6	95,0	88,3
	620	129,9	121,6	115,0	109,1	101,5	94,8
	650	136,5	128,1	121,5	115,6	108,0	101,3
	680	143,0	134,6	128,1	122,1	114,5	107,8
	710	149,5	141,1	134,6	128,6	121,0	114,3
	740	156,0	147,6	141,1	135,1	127,5	120,8
	750	157,1	149,8	143,2	137,3	129,7	123,0
	760		152,0	145,4	139,4	131,8	125,1
	770		154,1	147,6	141,6	134,0	127,3
	780		156,3	149,7	143,8	136,2	129,5
	790			151,9	145,9	138,3	131,7
	800			154,1	148,1	140,5	133,8
	810			156,2	150,3	142,7	136,0
	820				152,4	144,8	138,2
	830				154,6	147,0	140,3
	840				156,8	149,2	142,5
	850	157,1				151,3	144,7
	860					153,5	146,8
	870					155,7	149,0
	880						151,2
	890						153,3
	900						155,5
	910						157,1

Table 6-35: beam-wall connection for $c_{nom,min} = 55\text{mm}$ and $\varnothing 24\text{mm}$

Concrete cover = 55mm		Characteristic load resistance in case of fire $N_{Rk,fire}$ [kN]					
\varnothing [mm]	l_v [mm]	R30	R60	R90	R120	R180	R240
24	200	38,9	30,6	24,0	18,2	12,4	8,6
	230	45,4	37,1	30,5	24,4	17,4	12,7
	260	51,9	43,6	37,0	31,0	23,5	17,9
	290	58,4	50,1	43,5	37,6	29,8	23,4
	320	64,9	56,6	50,0	44,1	36,5	29,8
	350	71,4	63,1	56,5	50,6	43,0	36,3
	380	77,9	69,6	63,0	57,1	49,5	42,8
	410	84,4	76,1	69,5	63,6	56,0	49,3
	440	90,9	82,6	76,0	70,1	62,5	55,8
	470	97,4	89,1	82,5	76,6	69,0	62,3
	500	103,9	95,6	89,0	83,1	75,5	68,8
	530	110,4	102,1	95,5	89,6	82,0	75,3
	560	116,9	108,6	102,0	96,1	88,5	81,8
	590	123,4	115,1	108,5	102,6	95,0	88,3
	620	129,9	121,6	115,0	109,1	101,5	94,8
	650	136,5	128,1	121,5	115,6	108,0	101,3
	680	143,0	134,6	128,1	122,1	114,5	107,8
	710	149,5	141,1	134,6	128,6	121,0	114,3
	740	156,0	147,6	141,1	135,1	127,5	120,8
	750	157,1	149,8	143,2	137,3	129,7	123,0
	760		152,0	145,4	139,4	131,8	125,1
	770		154,1	147,6	141,6	134,0	127,3
	780		156,3	149,7	143,8	136,2	129,5
	790			151,9	145,9	138,3	131,7
	800			154,1	148,1	140,5	133,8
	810			156,2	150,3	142,7	136,0
	820				152,4	144,8	138,2
	830				154,6	147,0	140,3
	840				156,8	149,2	142,5
	850	157,1				151,3	144,7
	860					153,5	146,8
	870					155,7	149,0
	880						151,2
	890						153,3
	900						155,5
	910						157,1

Table 6-36: beam-wall connection for $c_{nom,min} = 55\text{mm}$ and $\varnothing 25\text{mm}$

Concrete cover = 55mm		Characteristic load resistance in case of fire $N_{Rk,fire}$ [kN]					
\varnothing [mm]	l_v [mm]	R30	R60	R90	R120	R180	R240
25	250	62,8	52,0	43,5	35,6	25,6	19,0
	280	71,0	60,1	51,6	43,8	33,4	25,8
	310	79,1	68,2	59,8	52,0	41,4	32,9
	340	87,2	76,4	67,9	60,1	49,6	40,9
	370	95,3	84,5	76,0	68,2	57,7	49,1
	400	103,5	92,6	84,2	76,3	65,9	57,2
	430	111,6	100,7	92,3	84,5	74,0	65,3
	460	119,7	108,9	100,4	92,6	82,1	73,5
	490	127,9	117,0	108,5	100,7	90,3	81,6
	520	136,0	125,1	116,7	108,9	98,4	89,7
	550	144,1	133,3	124,8	117,0	106,5	97,8
	580	152,2	141,4	132,9	125,1	114,6	106,0
	610	160,4	149,5	141,1	133,2	122,8	114,1
	640	168,5	157,6	149,2	141,4	130,9	122,2
	670	176,6	165,8	157,3	149,5	139,0	130,4
	700	184,8	173,9	165,4	157,6	147,2	138,5
	730	192,9	182,0	173,6	165,8	155,3	146,6
	760	201,0	190,2	181,7	173,9	163,4	154,7
	790	209,1	198,3	189,8	182,0	171,6	162,9
	820	217,3	206,4	198,0	190,1	179,7	171,0
	850	225,4	214,5	206,1	198,3	187,8	179,1
	880	233,5	222,7	214,2	206,4	195,9	187,3
	910	241,7	230,8	222,4	214,5	204,1	195,4
	920	244,4	233,5	225,1	217,2	206,8	198,1
	930	245,4	236,2	227,8	219,9	209,5	200,8
	940		238,9	230,5	222,7	212,2	203,5
	950		241,6	233,2	225,4	214,9	206,2
	960		244,4	235,9	228,1	217,6	208,9
	970		245,4	238,6	230,8	220,3	211,6
	980			241,3	233,5	223,0	214,4
	990			244,0	236,2	225,7	217,1
	1000			245,4	238,9	228,5	219,8
	1010				241,6	231,2	222,5
	1020				244,3	233,9	225,2
	1030				245,4	236,6	227,9
	1040					239,3	230,6
	1050					242,0	233,3
	1060					244,7	236,0
	1070					245,4	238,7
	1080						241,5
	1090						244,2
	1100						245,4

7. References

- [1] Project 21029HK15511_1: Report on fire tests for post-installed rebars according to EAD 330087-00-0601 with the fischer injection system FIS V Zero in mixing ratio 5:1 February 2021.
- [2] DIN EN 1992-1-2, 2010-12: Eurocode 2: Design of concrete structures - Part 1-2: General rules - Structural fire design; German version EN 1992-1-2:2004 + AC:2008.
- [3] DIN EN 1993-1-2, 2010-12: Eurocode 3: Design of steel structures - Part 1-2: General rules - Structural fire design; German version EN 1993-1-2:2005 + AC:2009.
- [4] DIN EN 1363-1, 2012-10: Fire resistance tests - Part 1: General Requirements.
- [5] DIN EN 1992-1-1, 2011-01: Eurocode 2: Design of concrete structures - Part 1-1: General rules and rules for buildings.
- [6] ISO 834-1:1999: Fire resistance tests - Elements of building construction - Part 1: General requirements.
- [7] Project 21029HK15511_3: Assessment of heating sleeve tests with fischer injection system FIS V Zero in mixing ratio 5:1 according to EAD 330087-00-0601 April 2021.
- [8] EOTA: EAD 330087-00-0601 - Systems for post-installed Rebar Connections with Mortar (Version May 2018).
- [9] Europäisch Technische Bewertung ETA-20/0574 Mai 2021